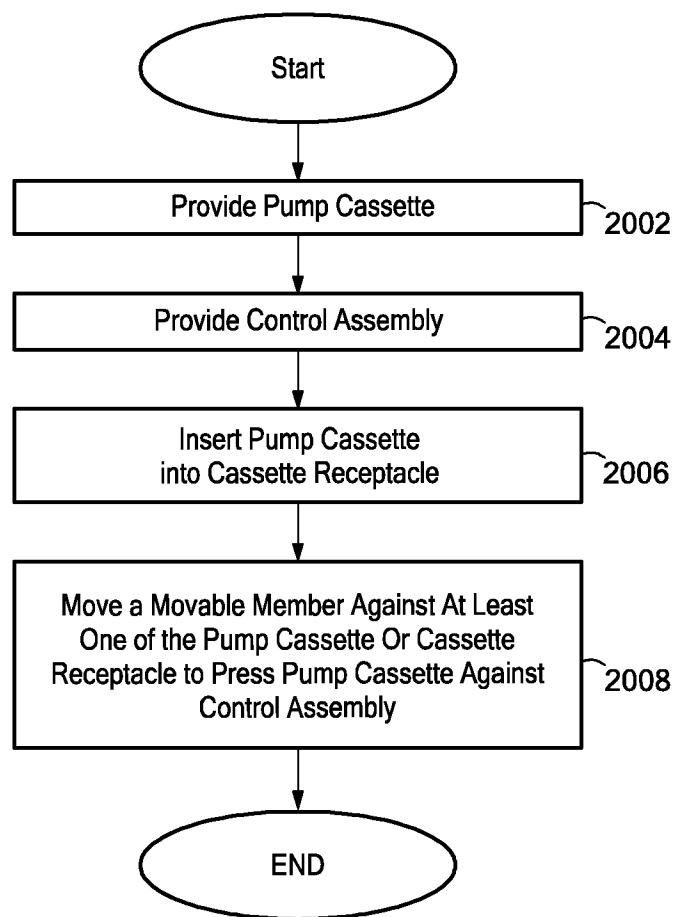
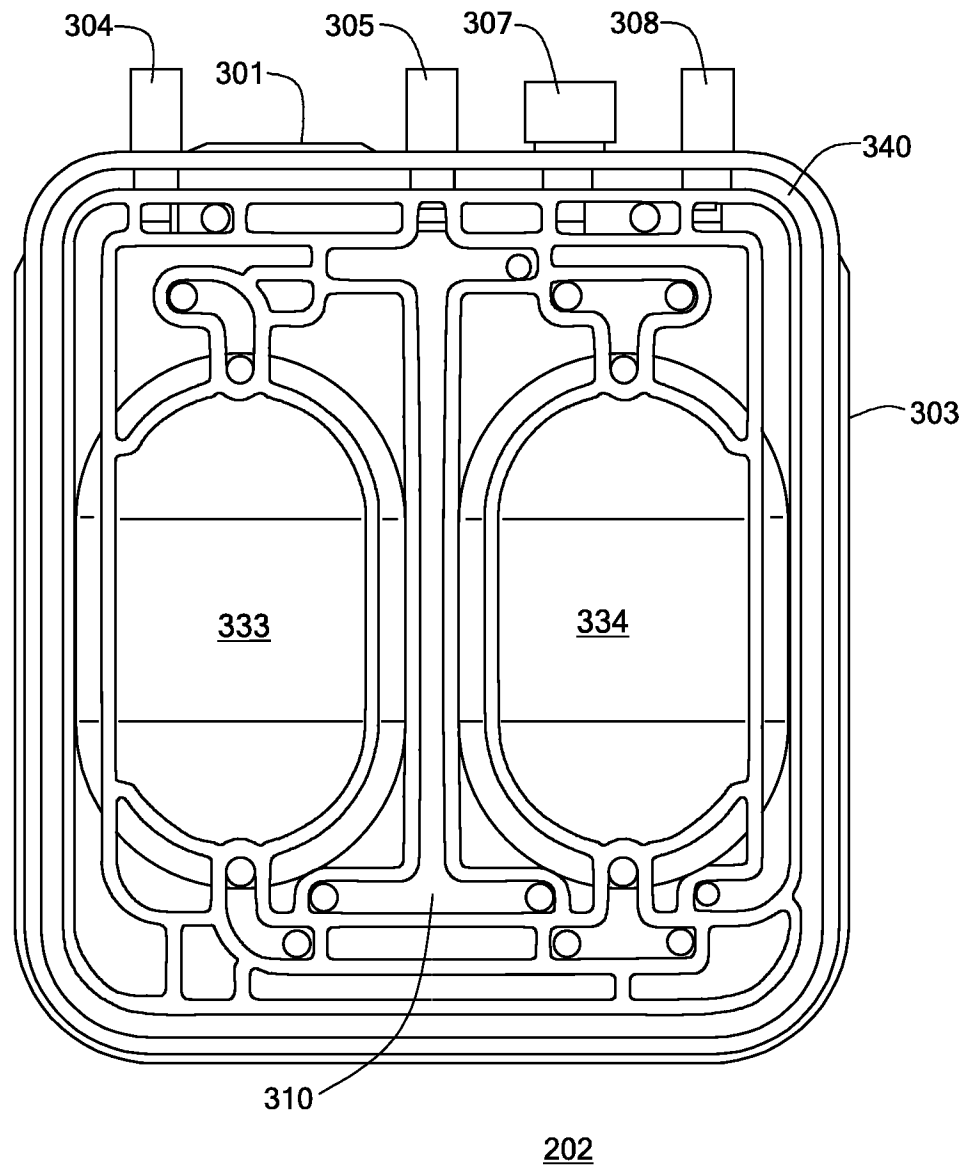


1/23



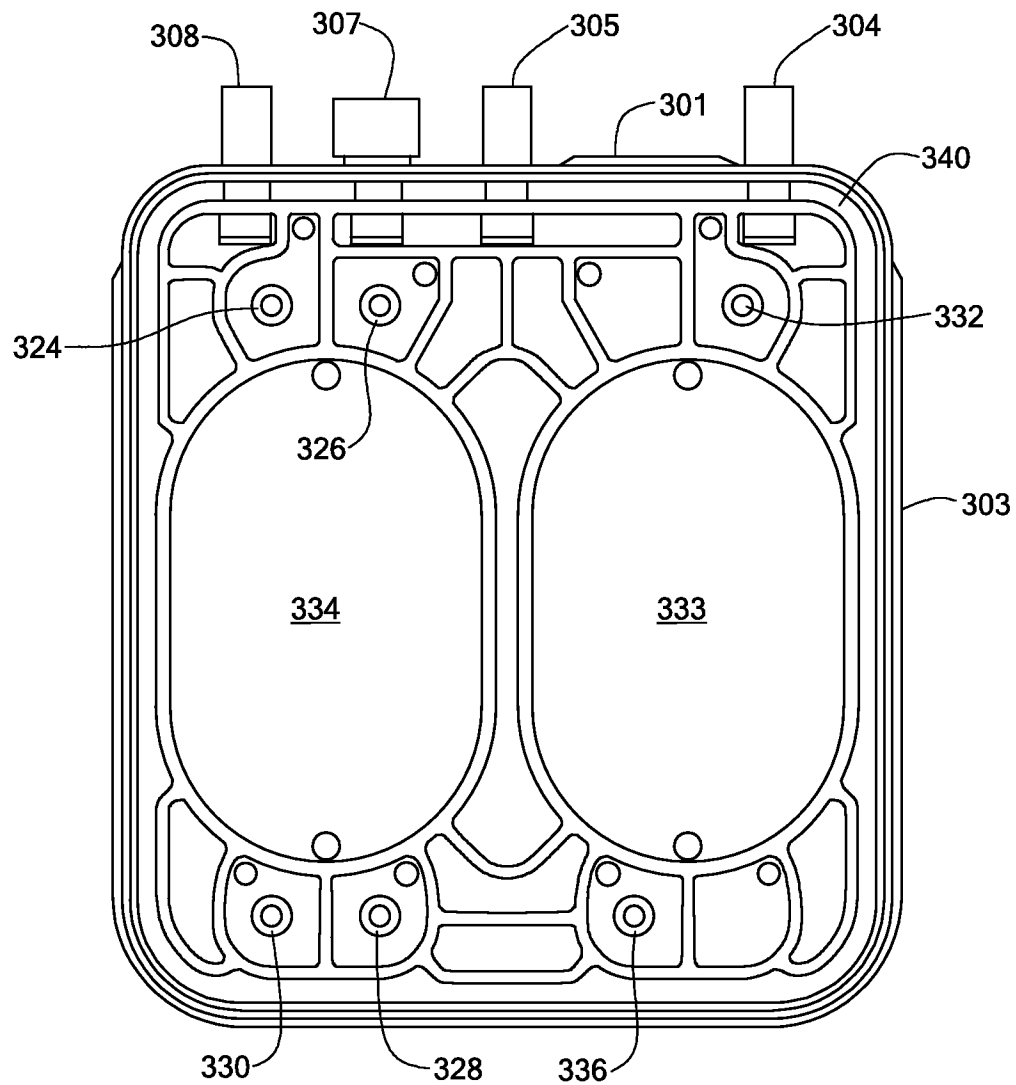
**FIG. 1**

2/23



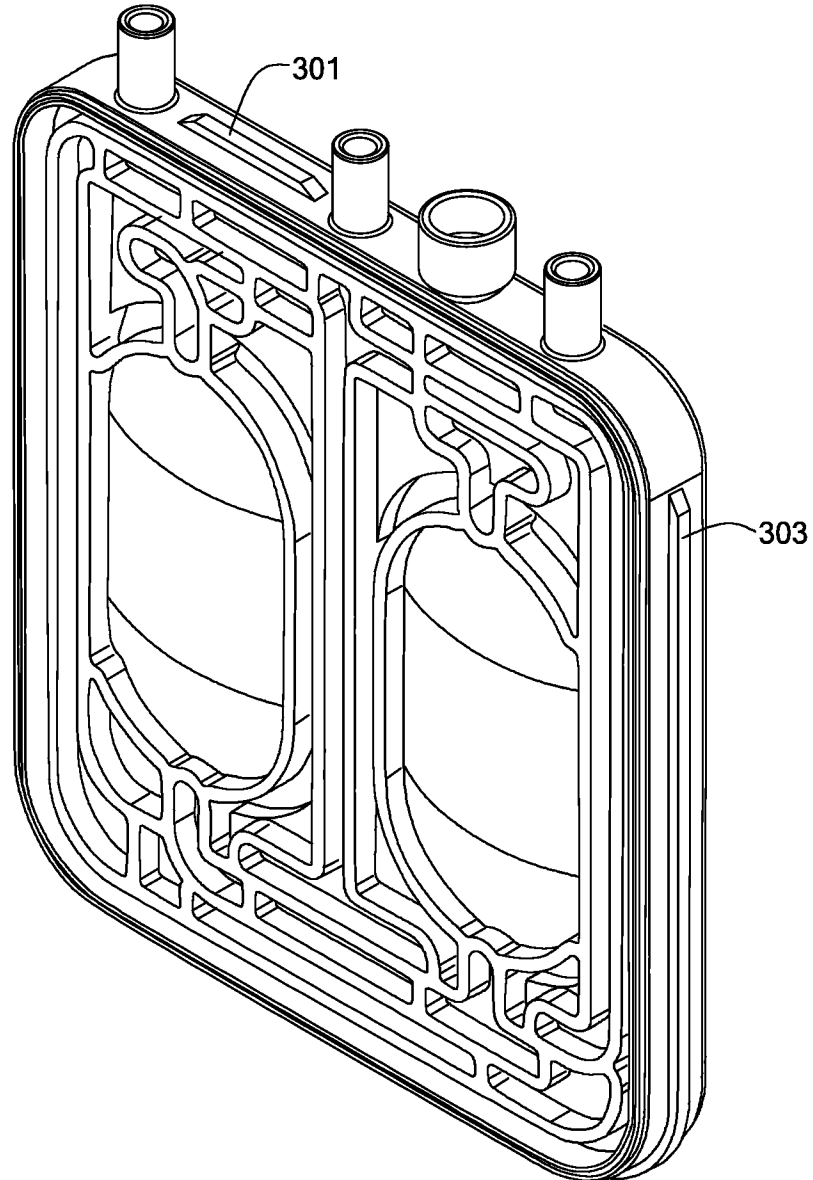
**FIG. 2A**

3/23



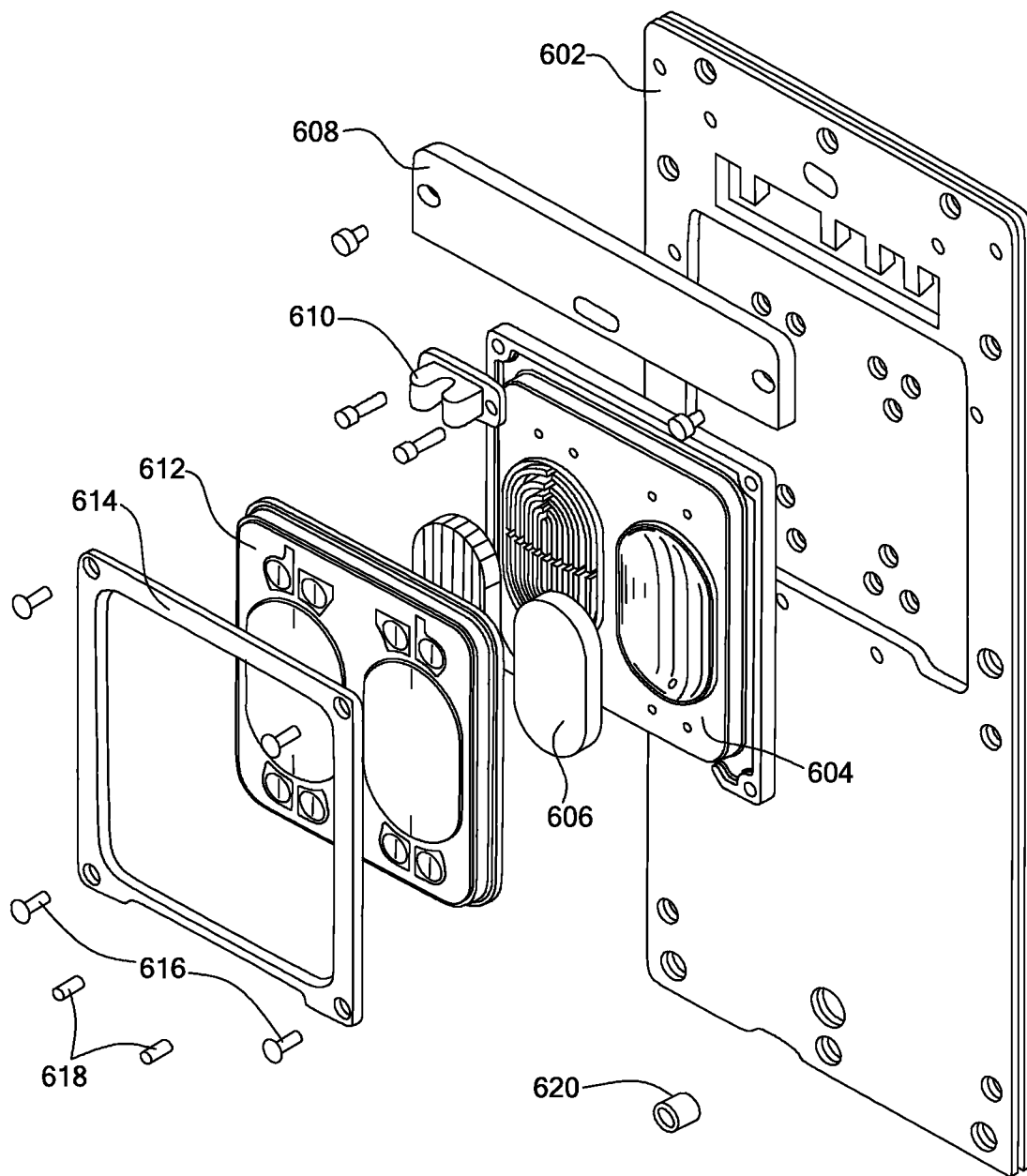
**FIG. 2B** <sup>202</sup>

4/23



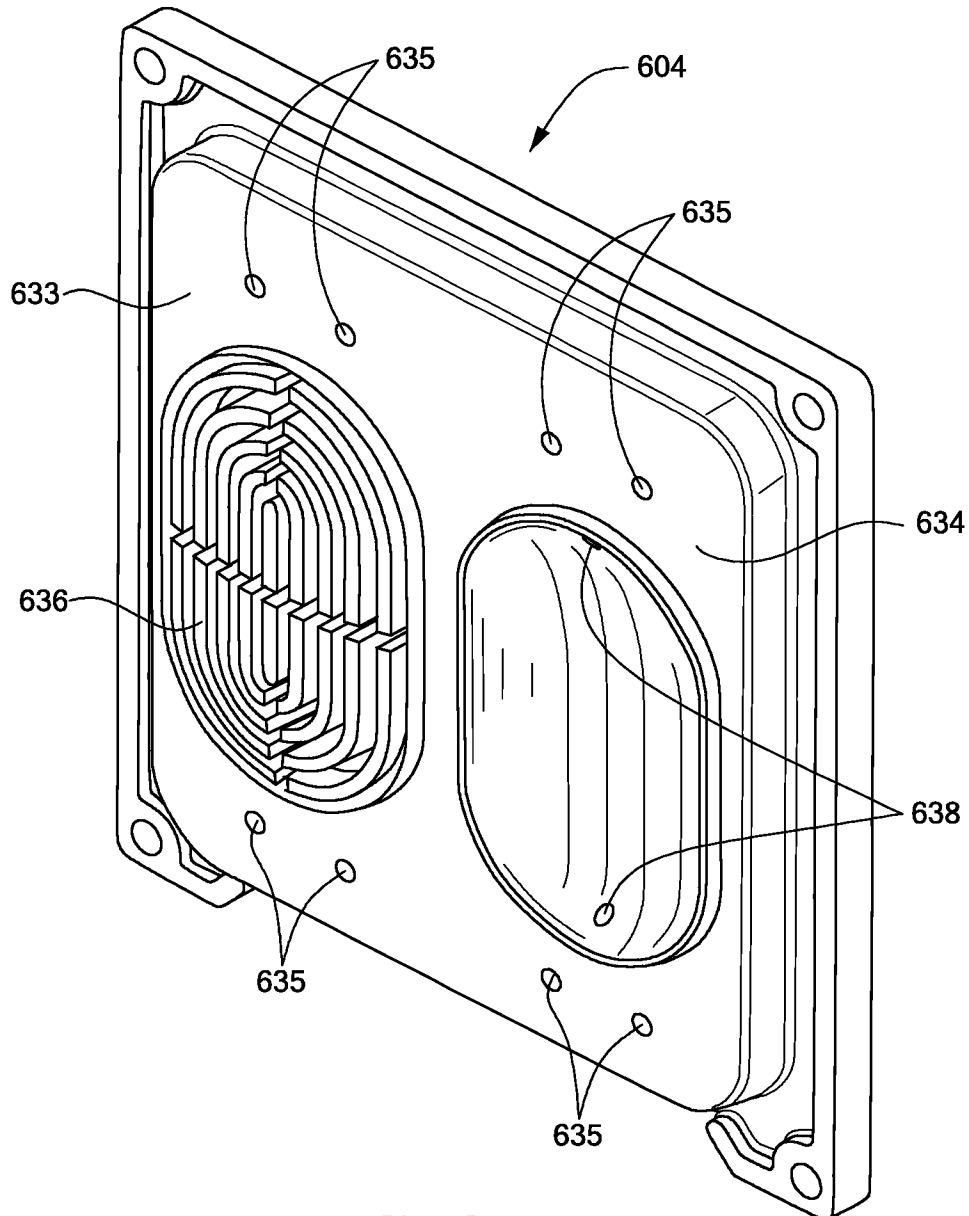
**FIG. 2C**

5/23



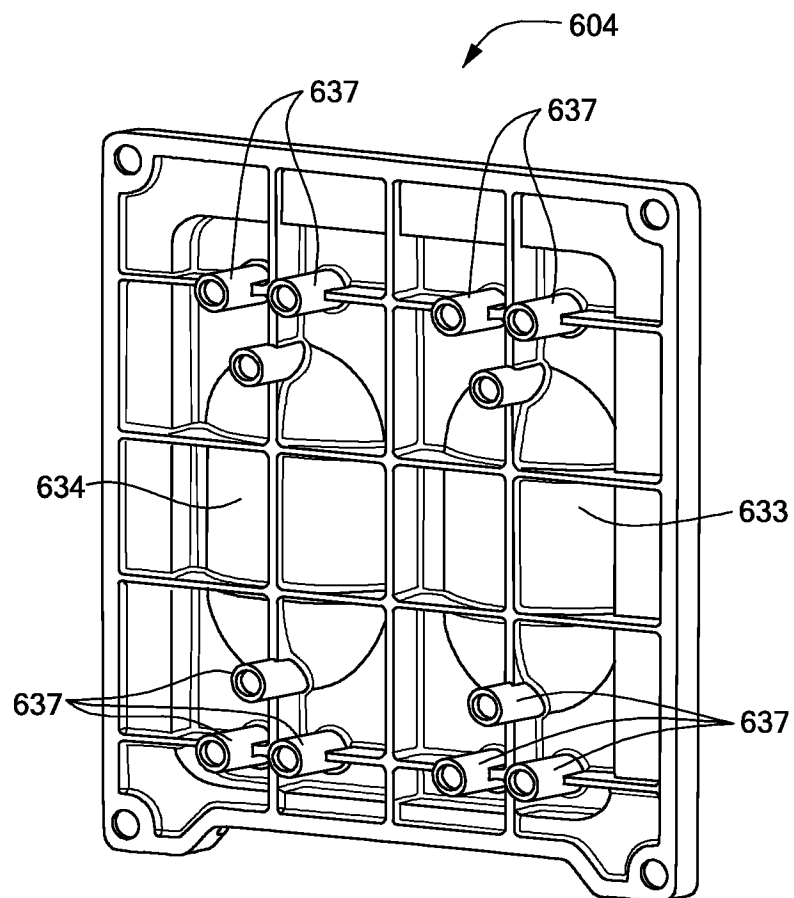
**FIG. 3A** 408

6/23



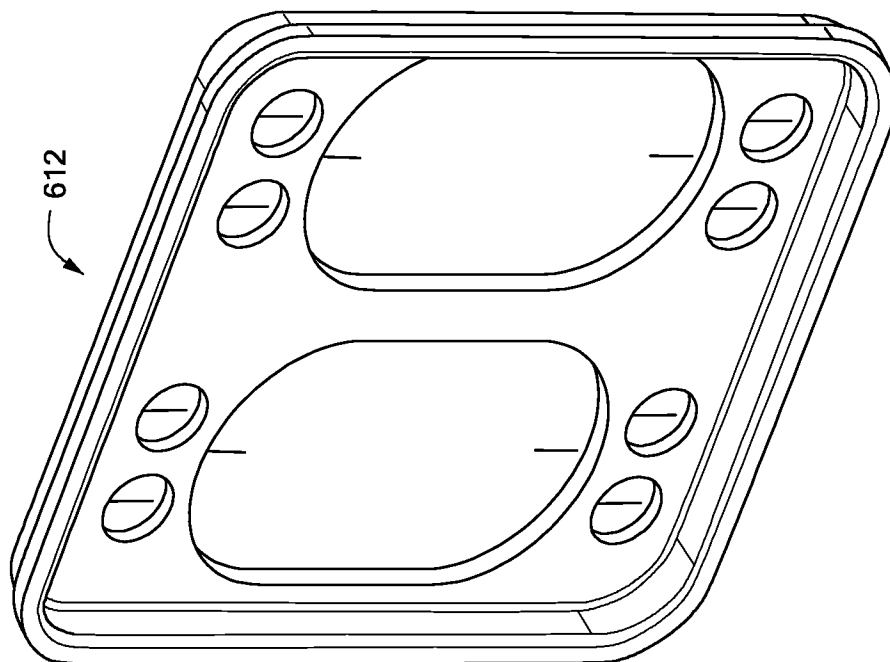
**FIG. 3B**

7/23

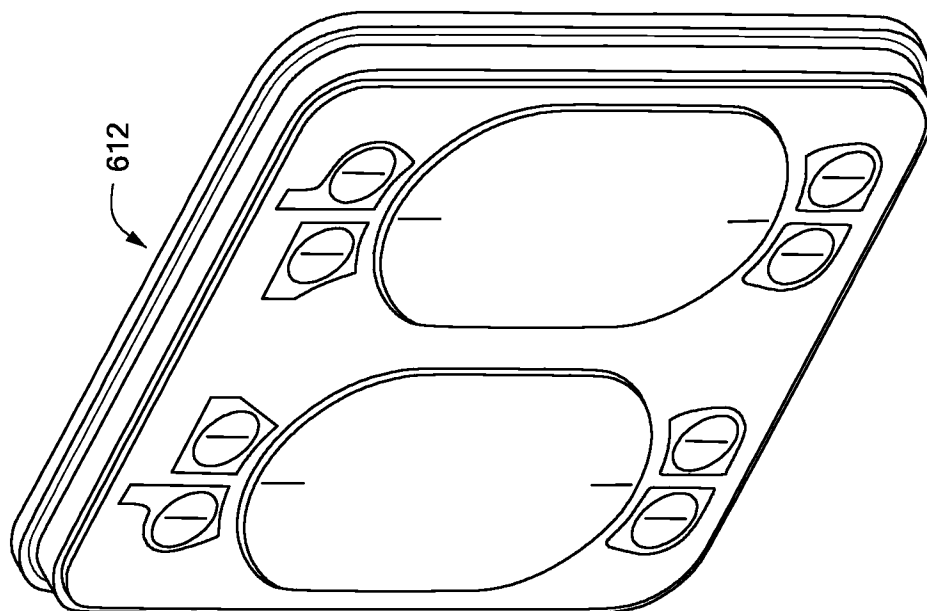


**FIG. 3C**

8/23



**FIG. 3E**



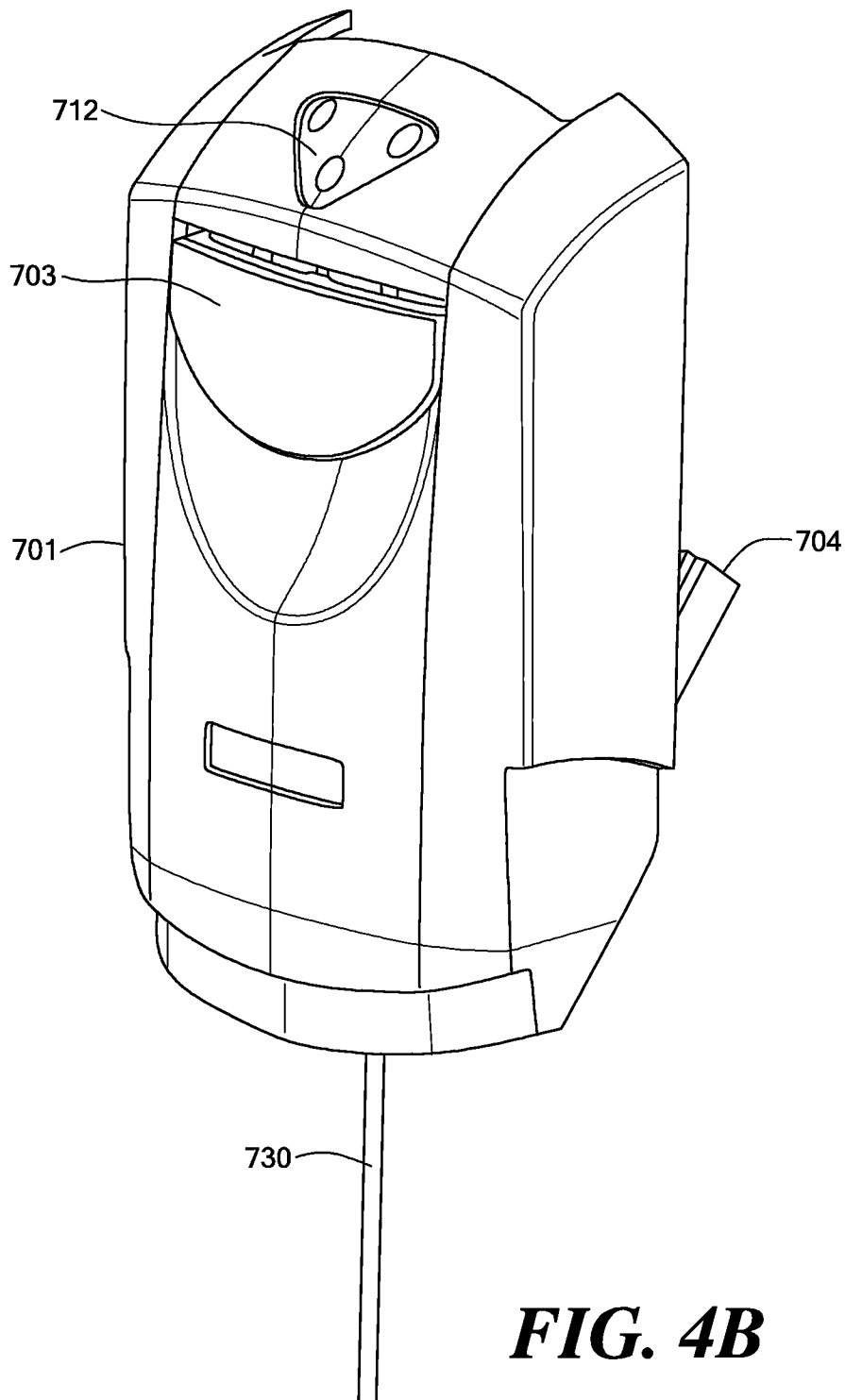
**FIG. 3D**



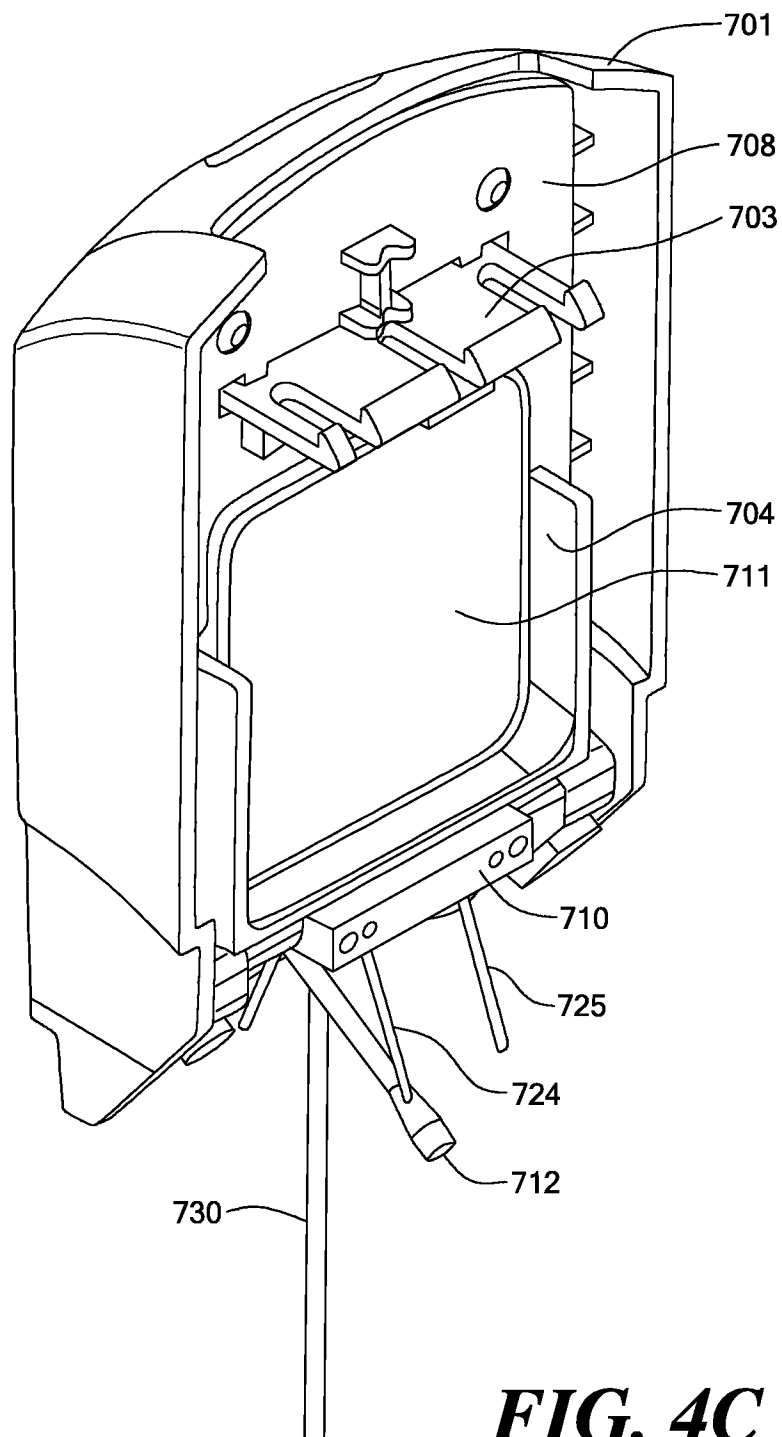


**FIG. 4A**

10/23

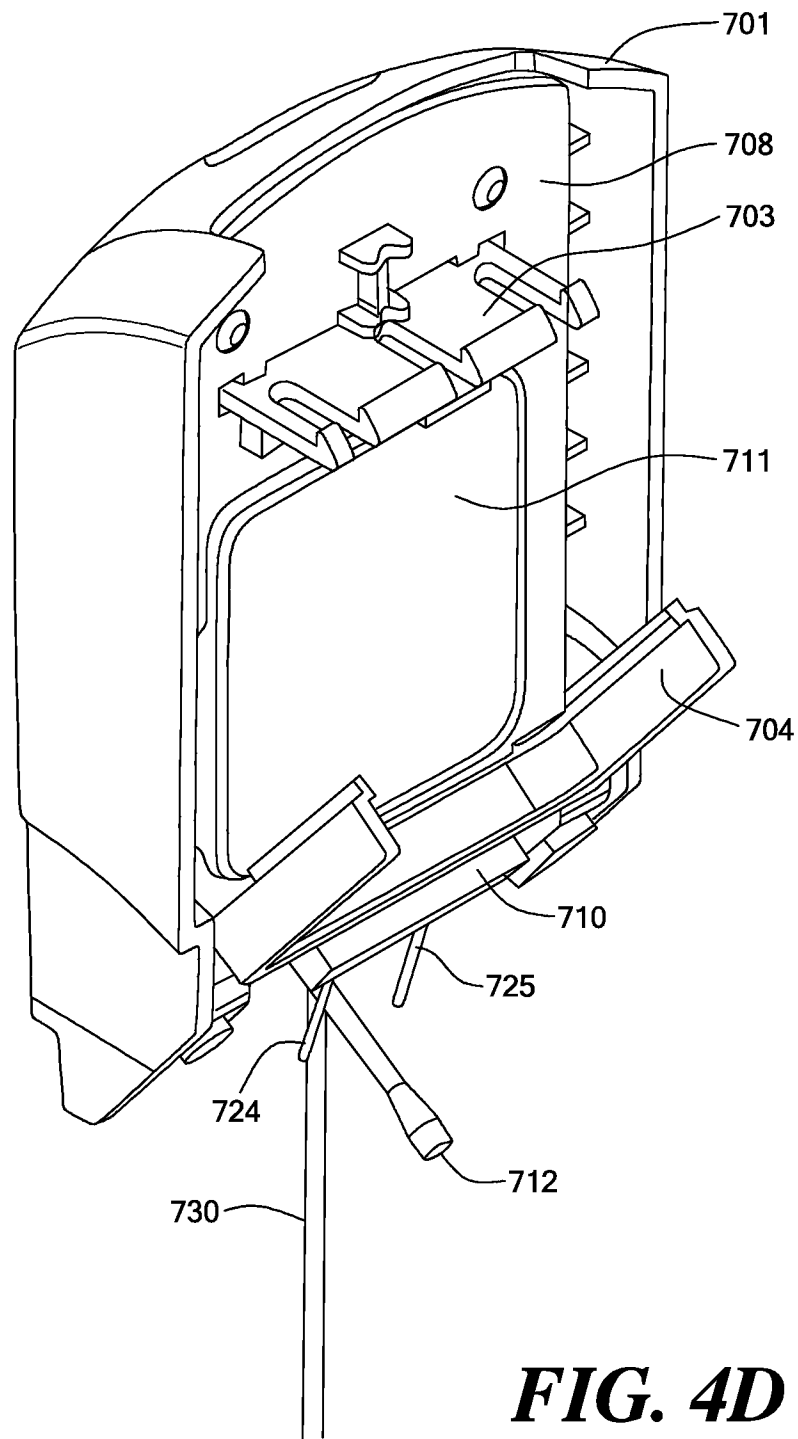


11/23



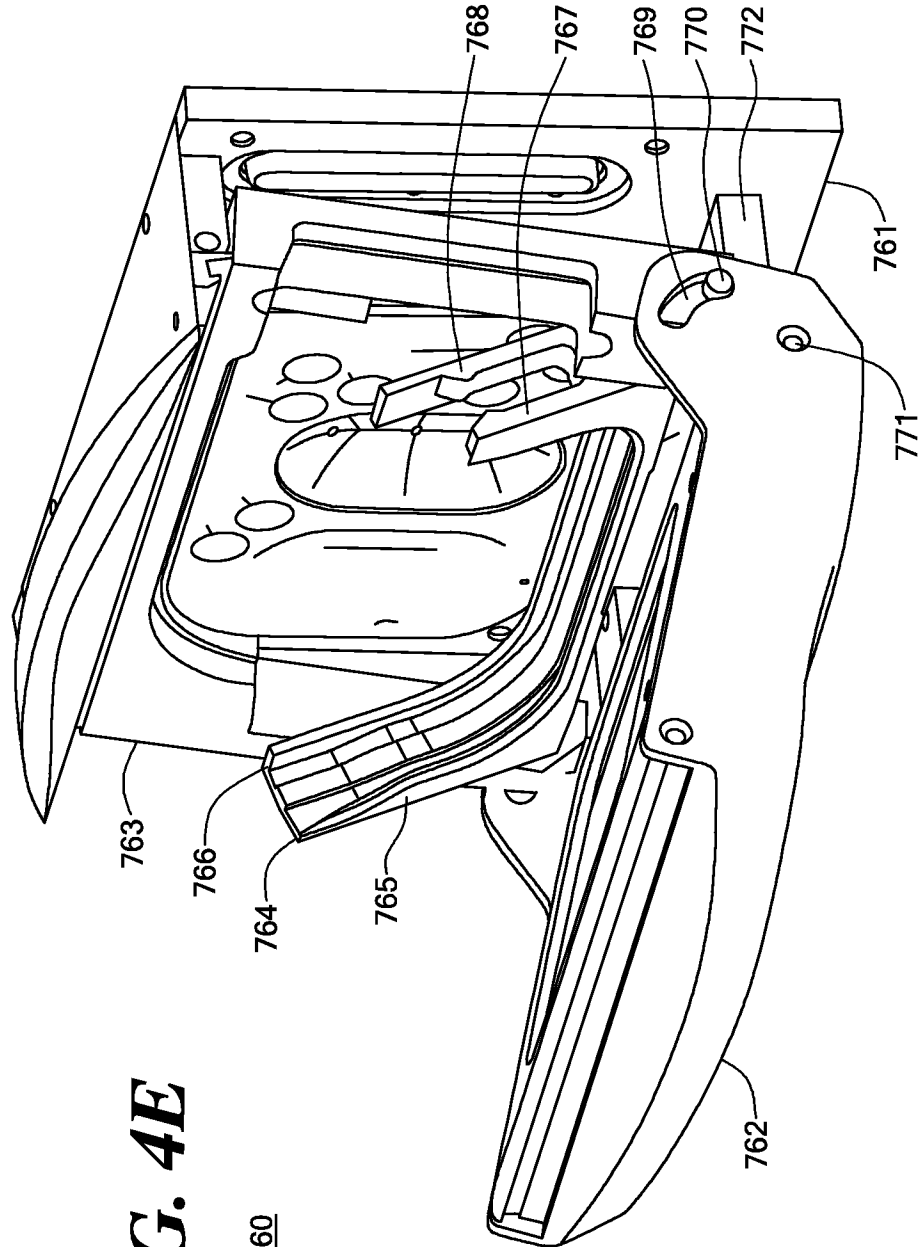
**FIG. 4C**

12/23



**FIG. 4D**

13/23



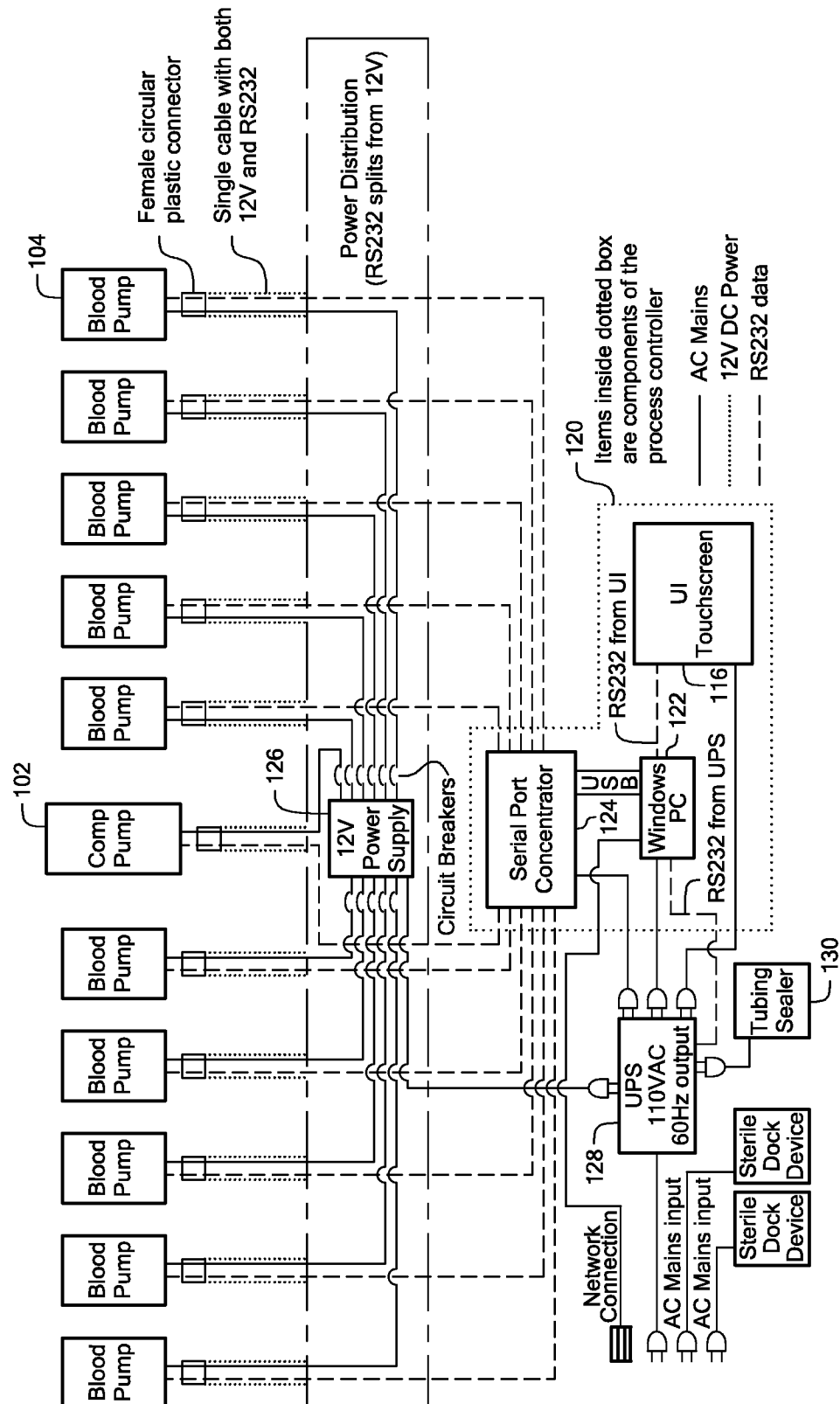
**FIG. 4E**

760



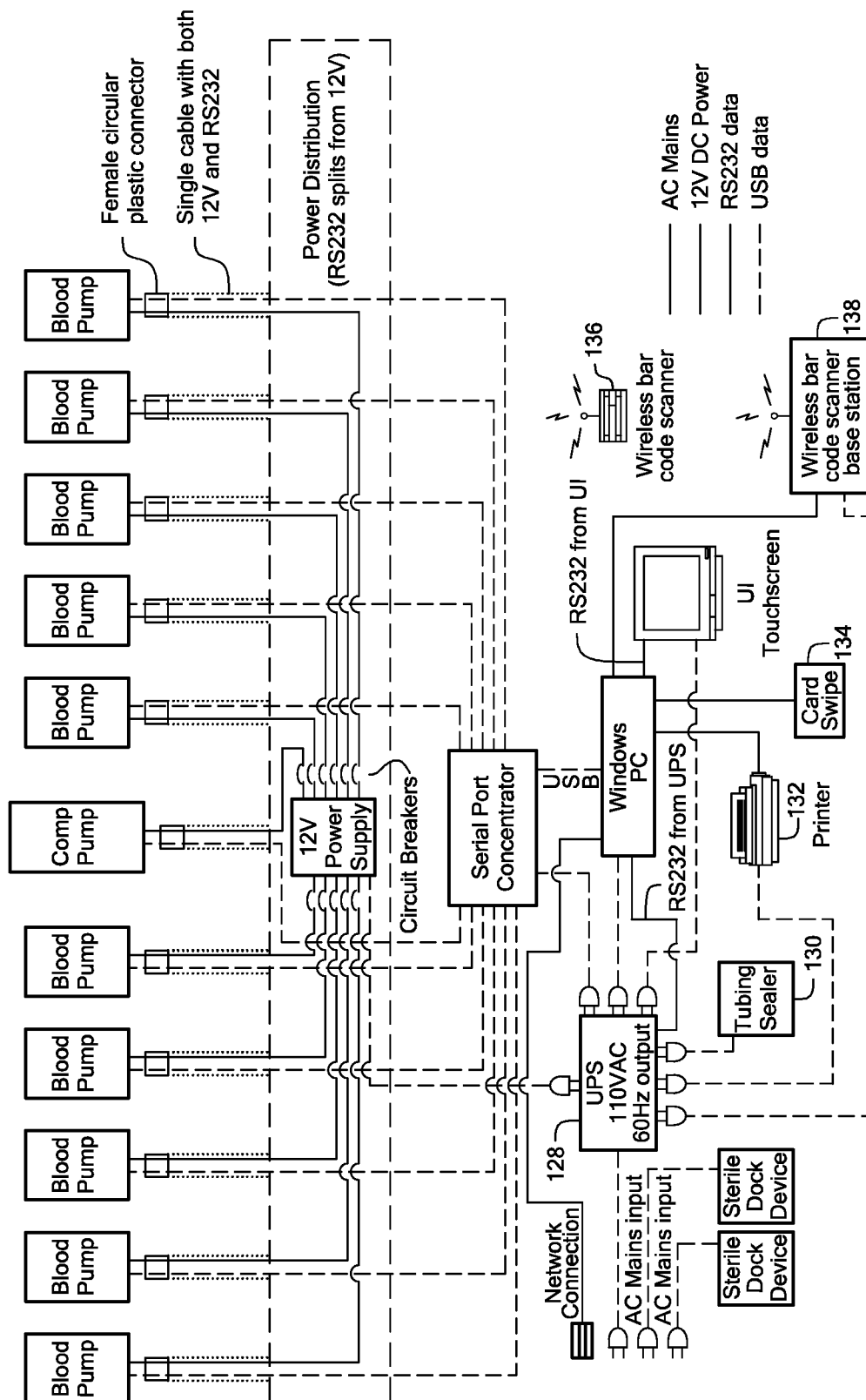
**FIG. 5A**

15/23



**FIG. 5B**

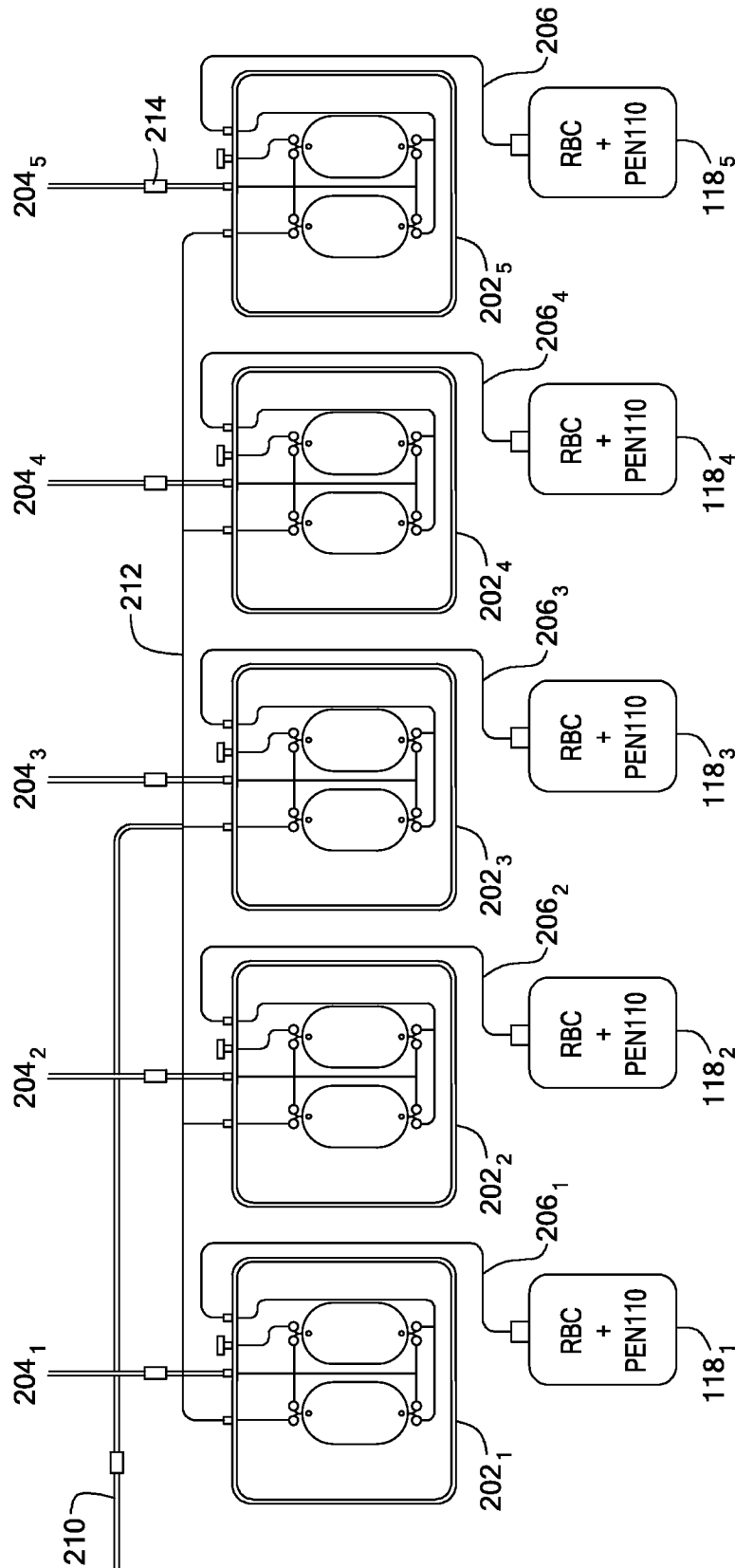
16/23



**FIG. 5C**

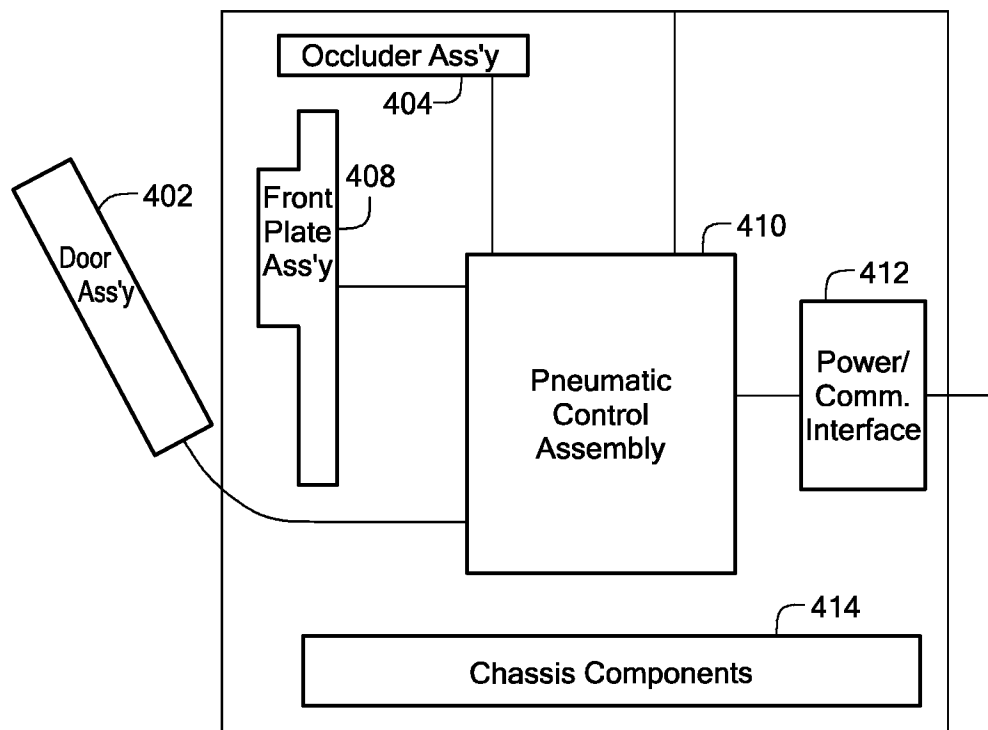


17/23



**FIG. 6**

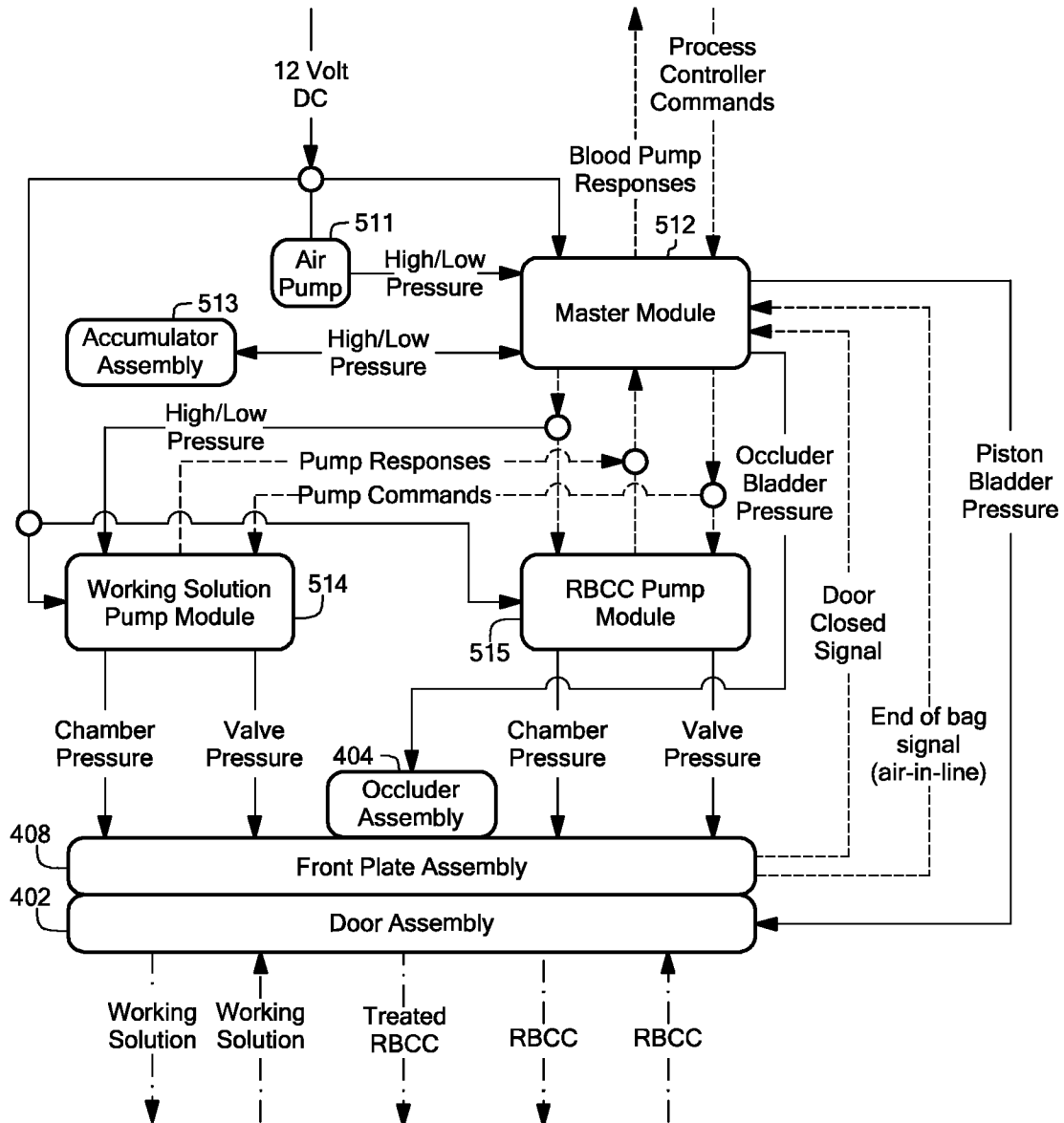
18/23



104

**FIG. 7**

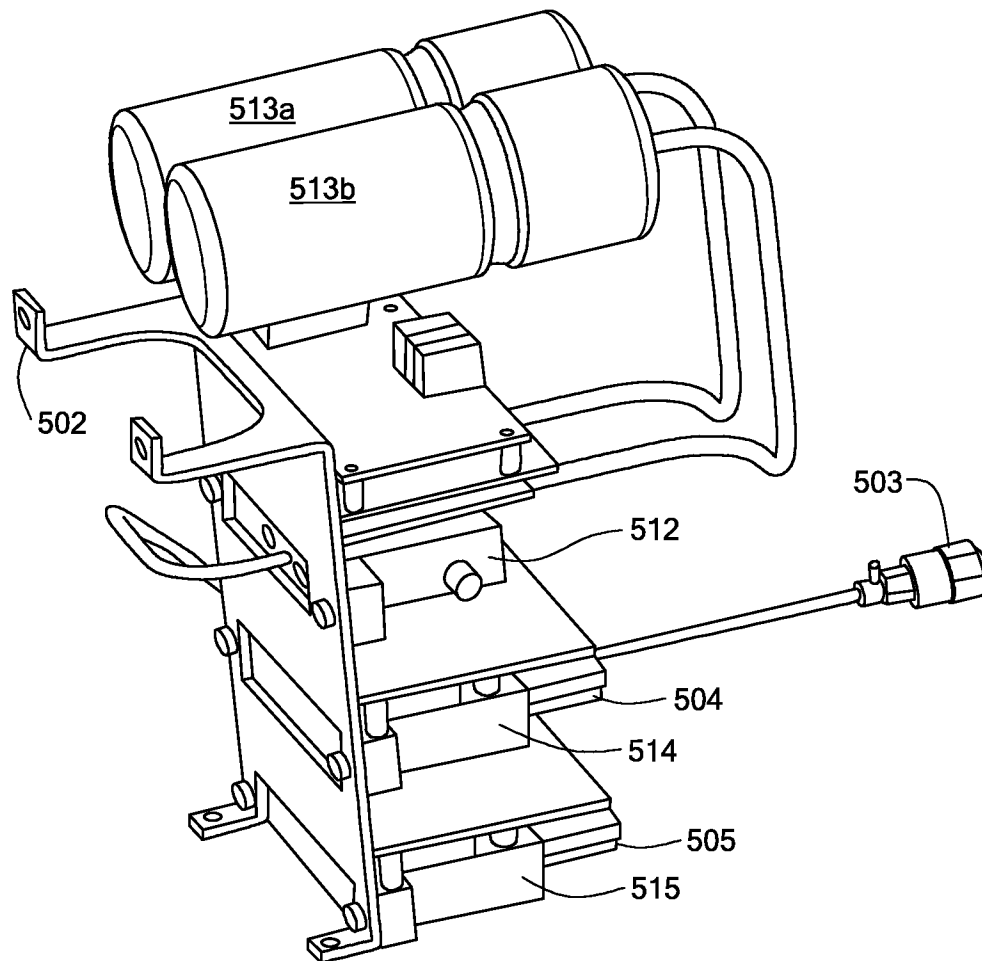
19/23



Key  
 Pneumatic \_\_\_\_\_  
 Power \_\_\_\_\_  
 Communication - - - - -  
 Fluidic . . . . .

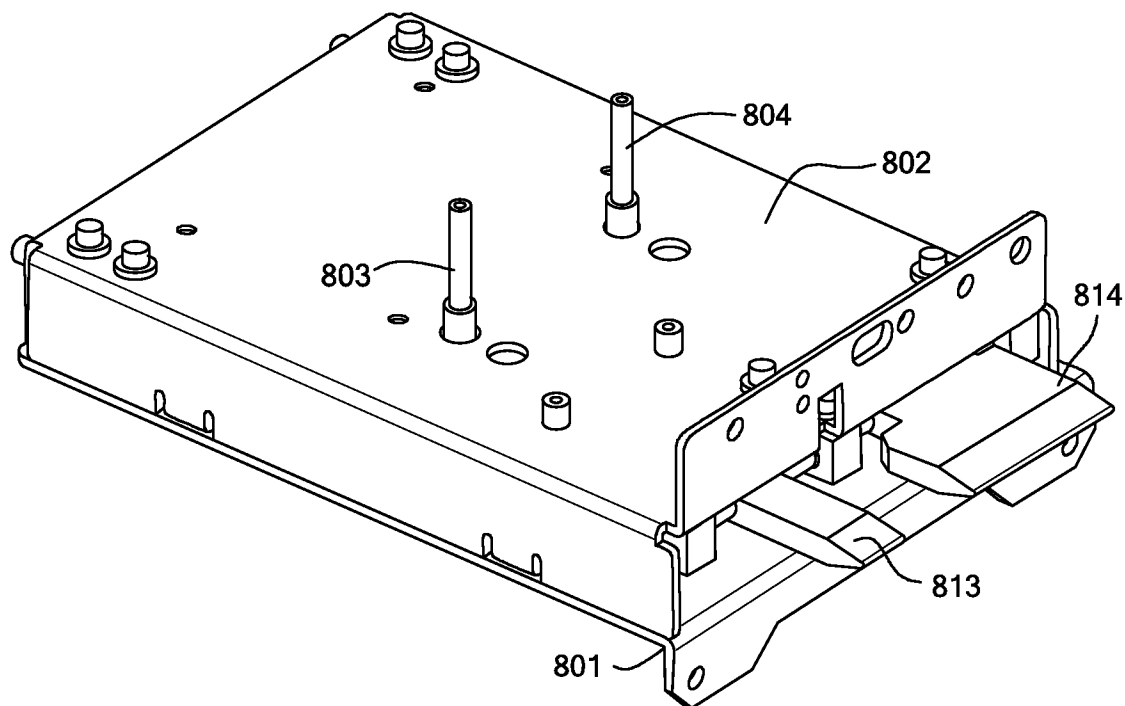
**FIG. 8A**

20/23

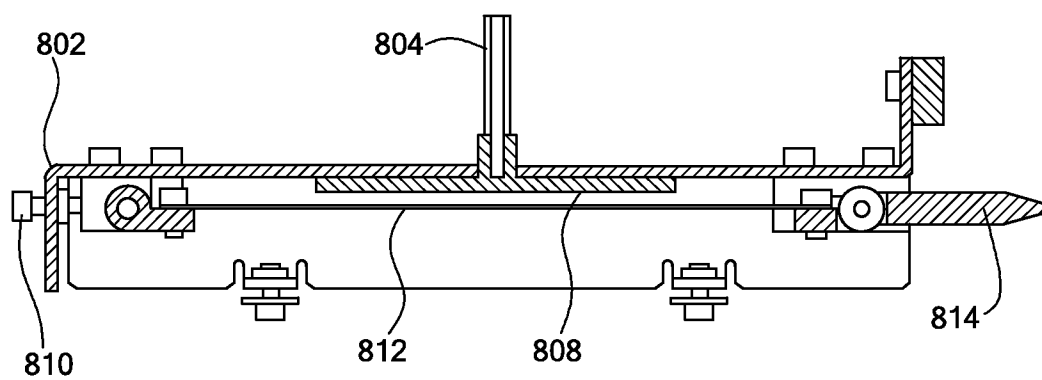


**FIG. 8B**

21/23

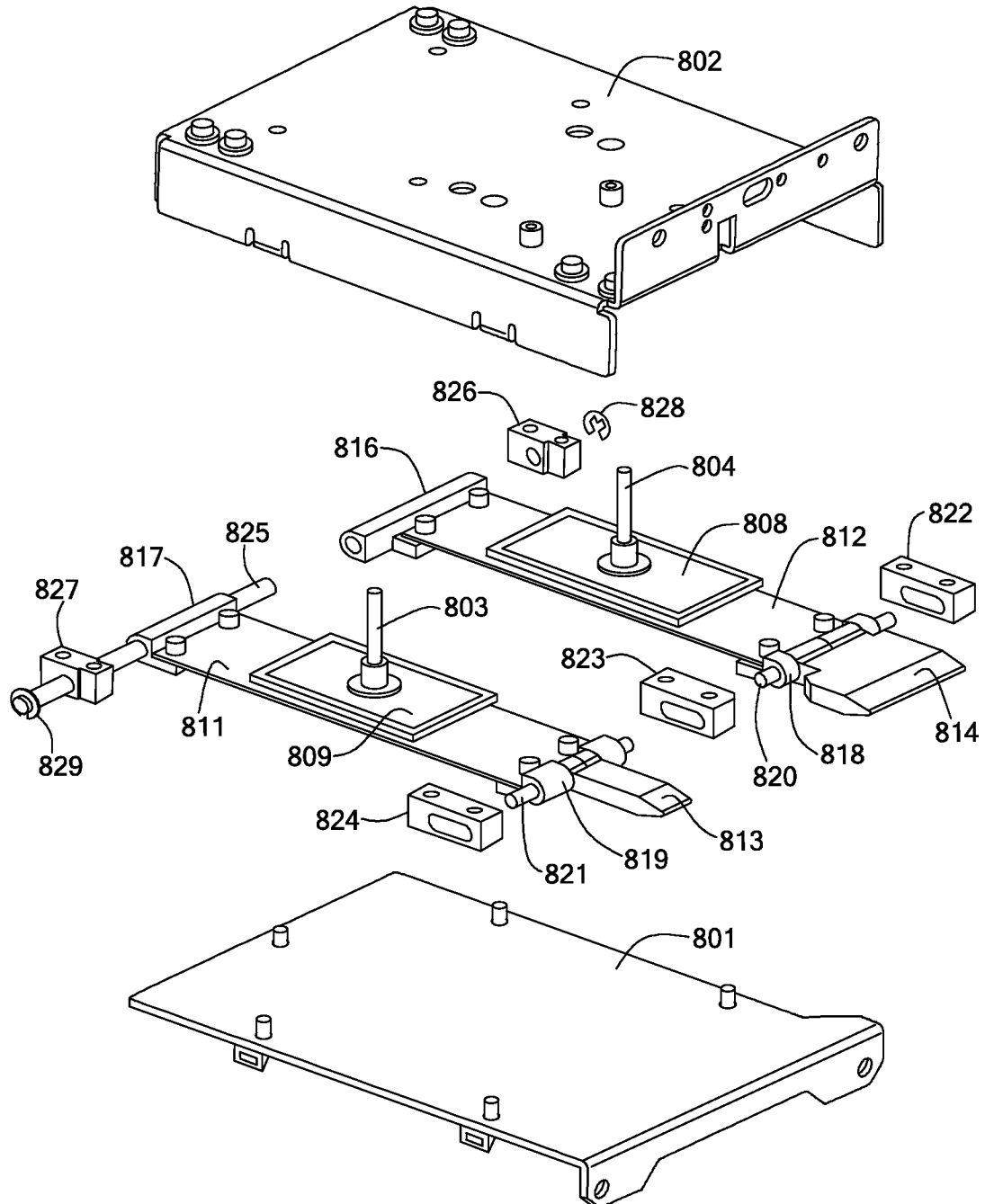


**FIG. 9**



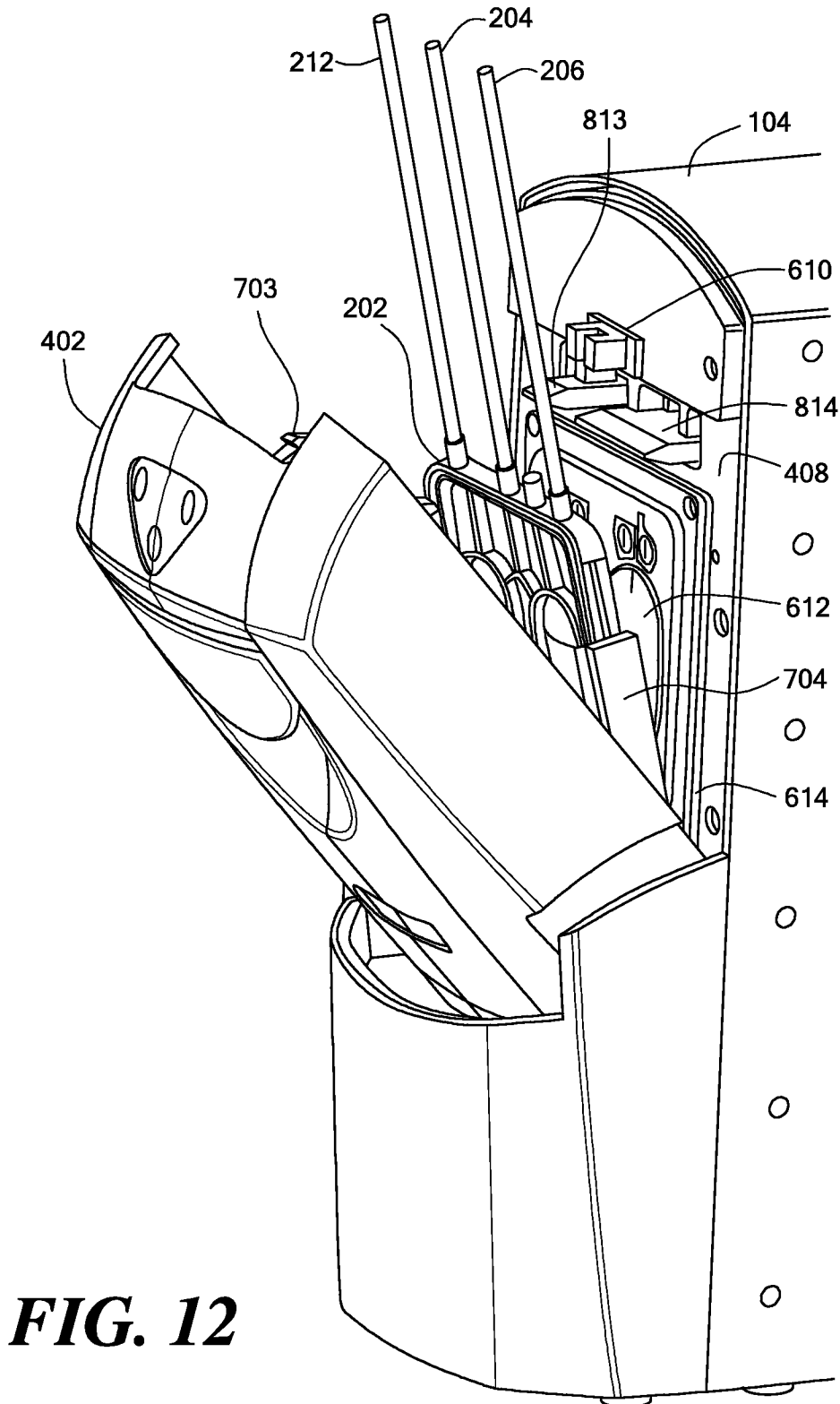
**FIG. 10**

22/23



**FIG. 11**

23/23



**FIG. 12**